



Polibotánica

ISSN: 1405-2768

rfernand@ipn.mx

Departamento de Botánica

México

Mendoza González, A. Catalina; Mateo Cid, Luz Elena
Contribución al estudio de la ficoflora marina de la costa del estado de Chiapas, México (parte b)
Polibotánica, núm. 2, junio, 1996, pp. 61-118
Departamento de Botánica
Distrito Federal, México

Disponible en: <http://www.redalyc.org/articulo.oa?id=62100207>

- Cómo citar el artículo
- Número completo
- Más información del artículo
- Página de la revista en redalyc.org

redalyc.org

Sistema de Información Científica

Red de Revistas Científicas de América Latina, el Caribe, España y Portugal

Proyecto académico sin fines de lucro, desarrollado bajo la iniciativa de acceso abierto

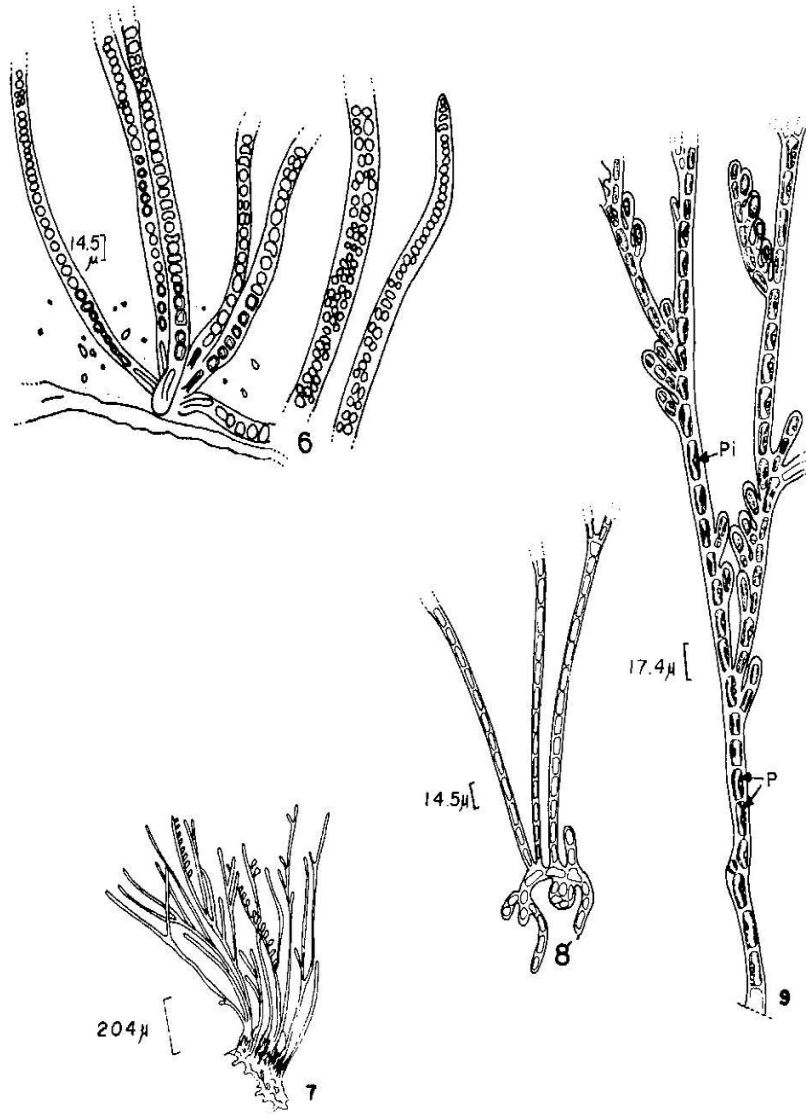


LÁMINA II. FIG. 6. *Erythrotrichia carnea*. Porción basal, media y apical. **FIG. 7.** *Audouinella saviana*. Aspecto general del talo. **FIG. 8 y 9.** *A. udovinella*. Porción basal y media con monoesporas en series; Células con un plasto lobado (P) y un pirenoides (Pi).

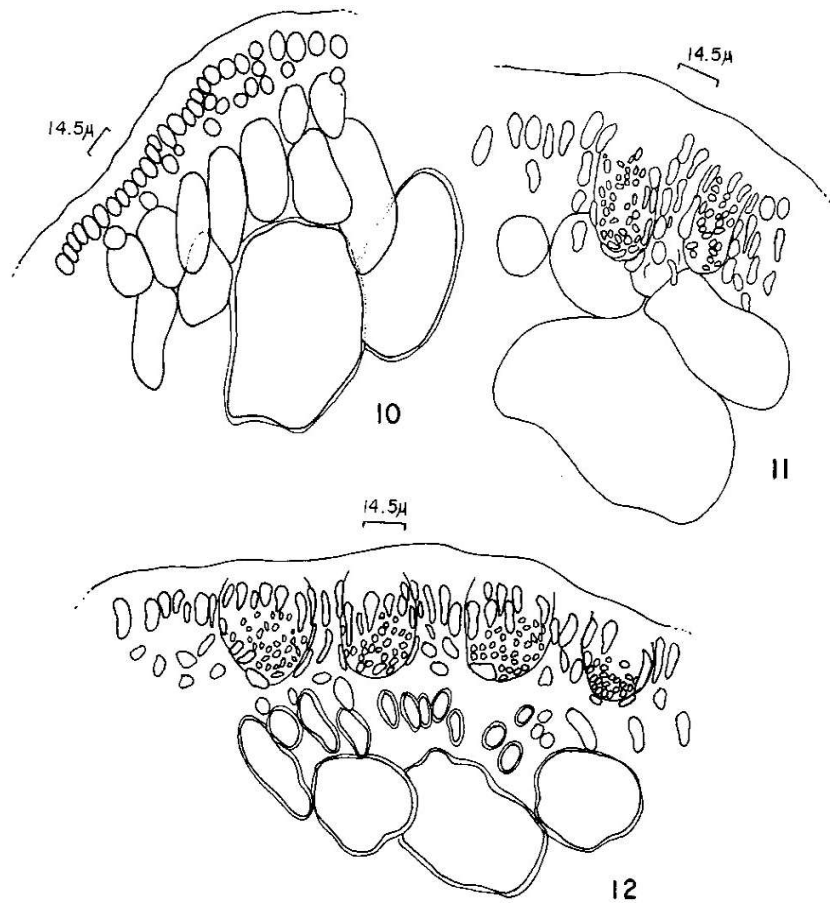


LÁMINA III. FIG. 10. *Gracilaria bursa-pastoris*. Corte transversal en la porción media del talo, mostrando las células medulares, subcorticales y corticales. **FIG. 11 y 12.** *Gracilaria bursa-pastoris*. Conceptáculos anteridiales tipo *téxtorii* en diferentes estadios de desarrollo.

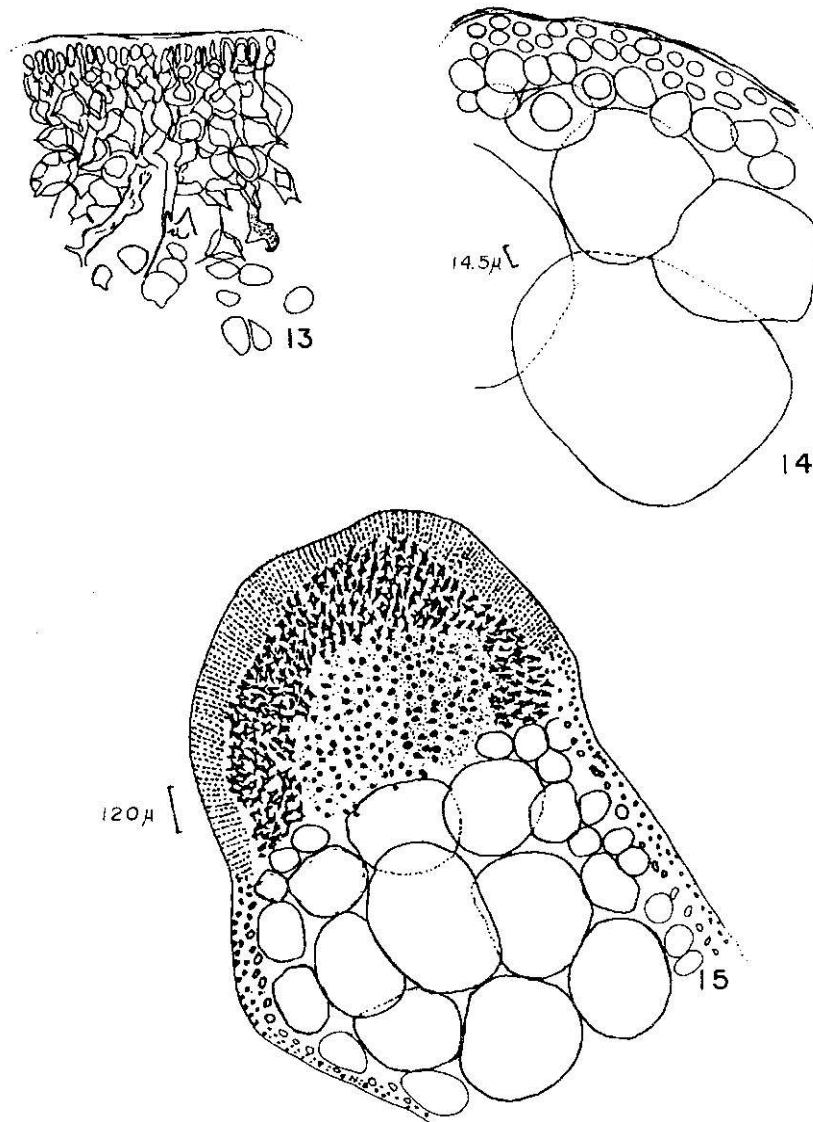


LÁMINA IV. FIG. 13 y 14. *Gracilaria* sp. Corte transversal del talo. FIG. 15. *Gracilaria* sp. Corte transversal del cistocarpo.

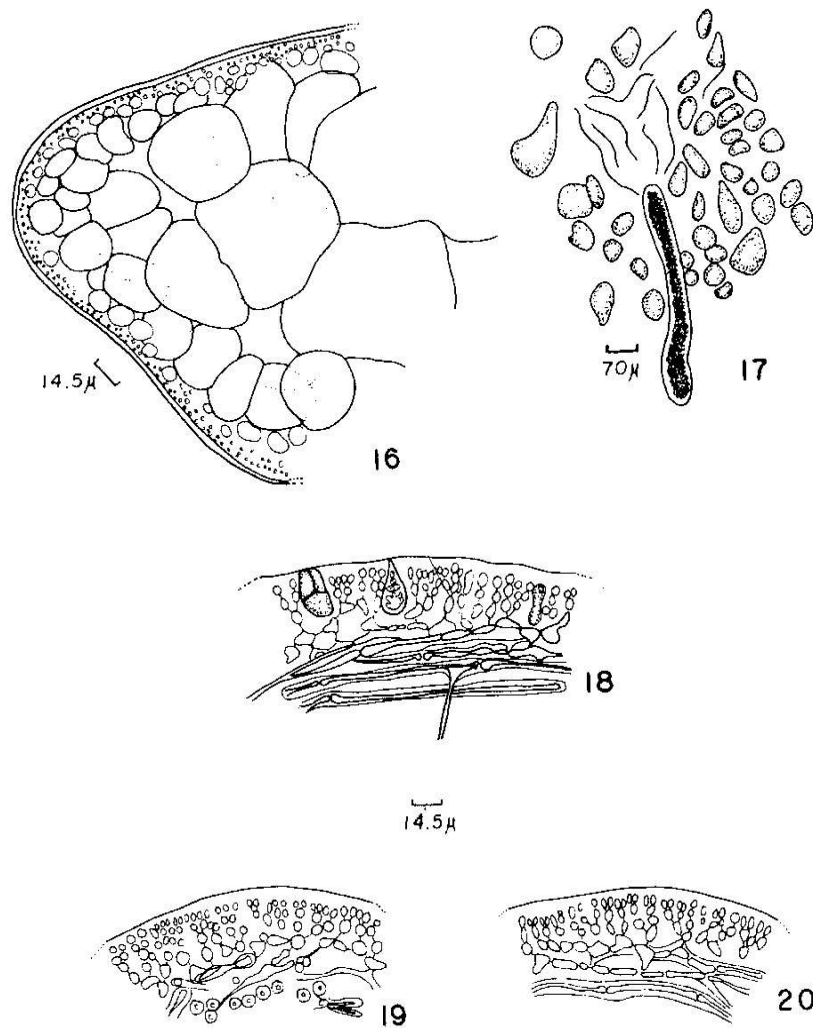


LÁMINA V. FIG. 16. *Gracilariopsis lemaneiformis*. Corte transversal de la región media del talo, aspecto vegetativo. **FIG. 17.** *Gracilariopsis lemaneiformis*. Detalle de las carposporas con filamentos. **FIG. 18.** *Grateloupia filicina*. Corte transversal del talo con tetrasporangios maduros cruciformes y en desarrollo, embebidos en la corteza. **FIG. 19 y 20.** *Grateloupia filicina*. Corte longitudinal y transversal respectivamente.

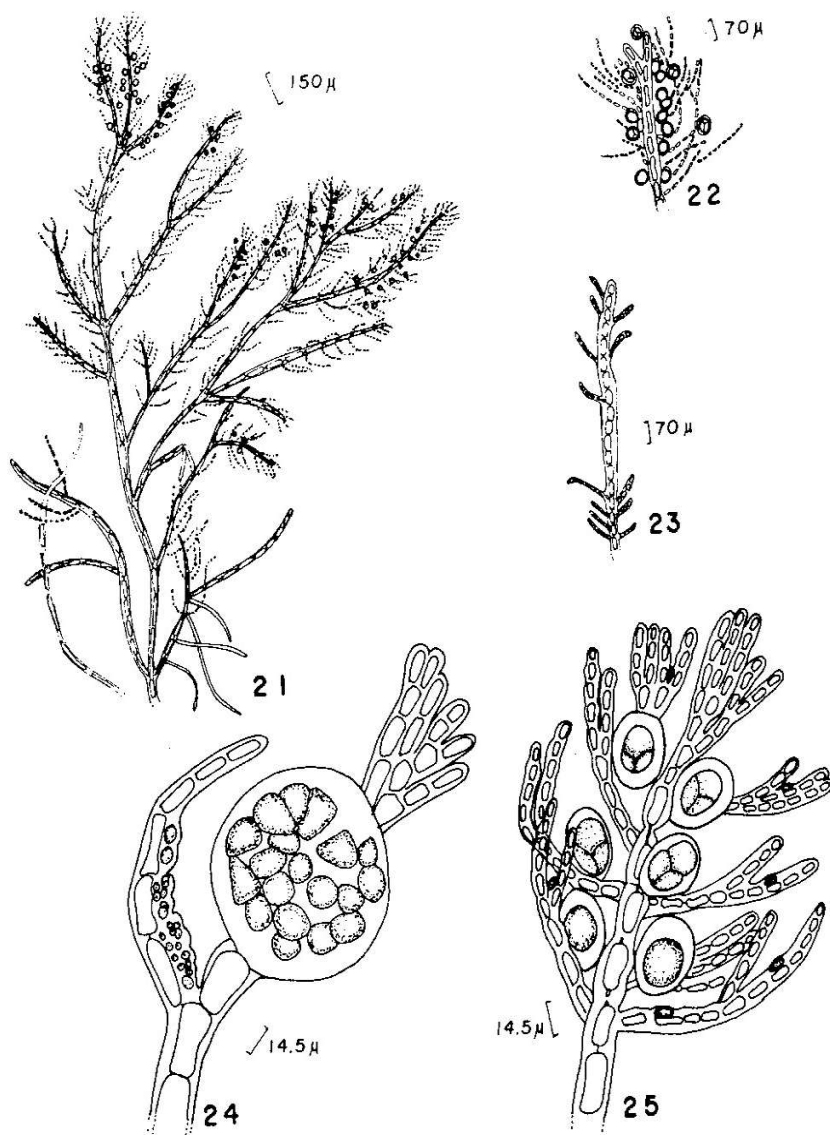


LÁMINA VI. FIG. 21. *Antithamnionella breviramosa*. Aspecto general del talo, con una porción basal reptante. **FIG. 22.** *A. breviramosa*. Detalle de una rama lateral con células glandulares y tetrasporangios. **FIG. 23.** *A. breviramosa*. Detalle de una rama apical. **FIG. 24.-** *A. breviramosa*. Detalle de una rama reproductora gametofítica con espermacios y Cistocarpos. **FIG. 25.** *A. breviramosa*. Detalle del tetraesporofito.

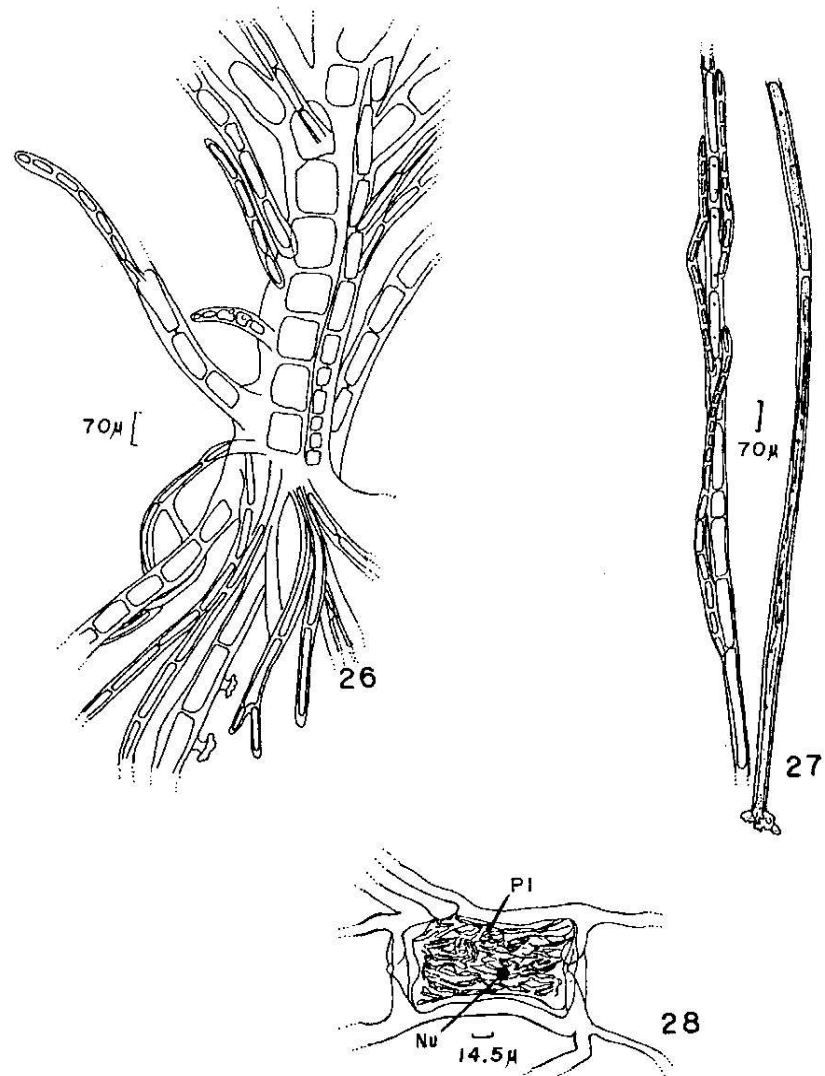


LÁMINA VII. FIG. 26. *Callithamnion paschale*. Porción basal del gametofito. **FIG. 27.** *C. paschale*. Porciones basales del tetrasporofito con filamentos corticales. **FIG. 28.** *C. paschale*. Detalle celular, plasto (Pl.) y núcleo (Nu).

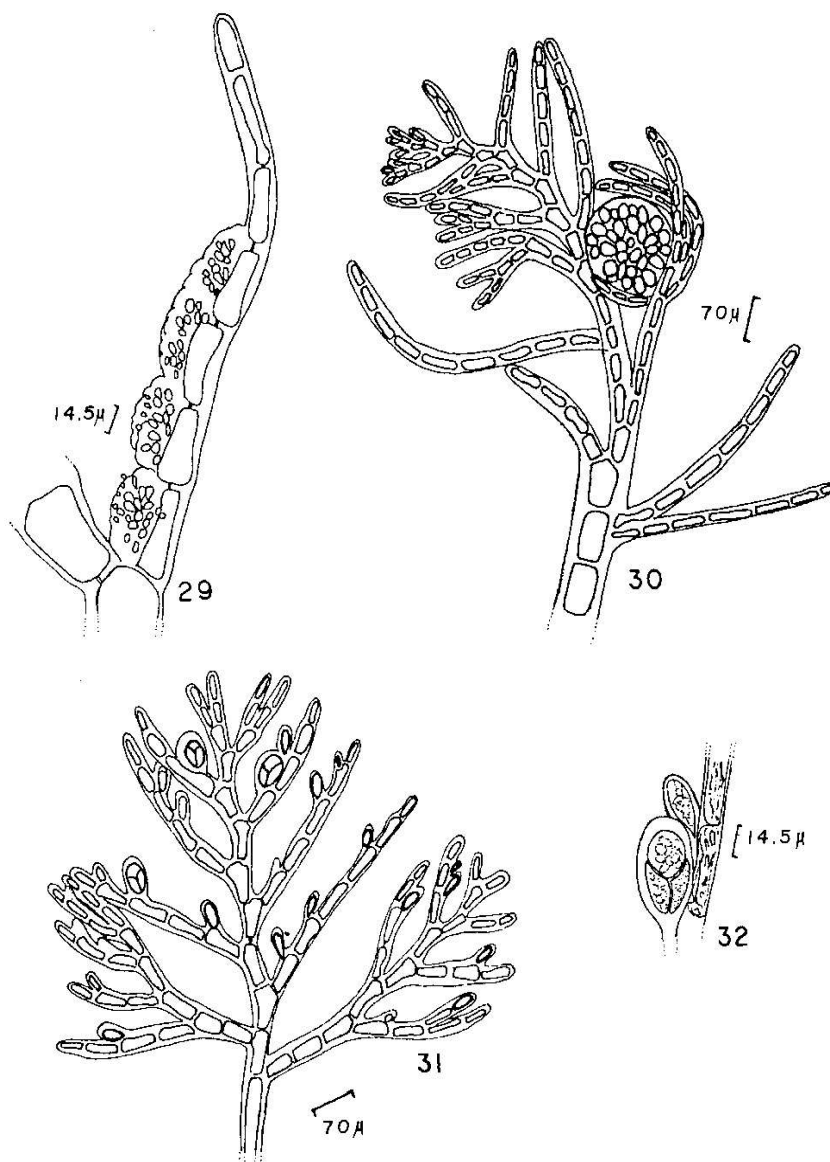


LÁMINA VIII. FIG. 29. *C. paschale*. Detalle de los paquetes anteridiales. **FIG. 30.** *C. paschale*. Gametofito femenino, rama con cistocarpo. **FIG. 31.** *C. paschale*. Aspecto del tetraesporofito. **FIG. 32.** *C. paschale*. Detalle del tetraesporangio.

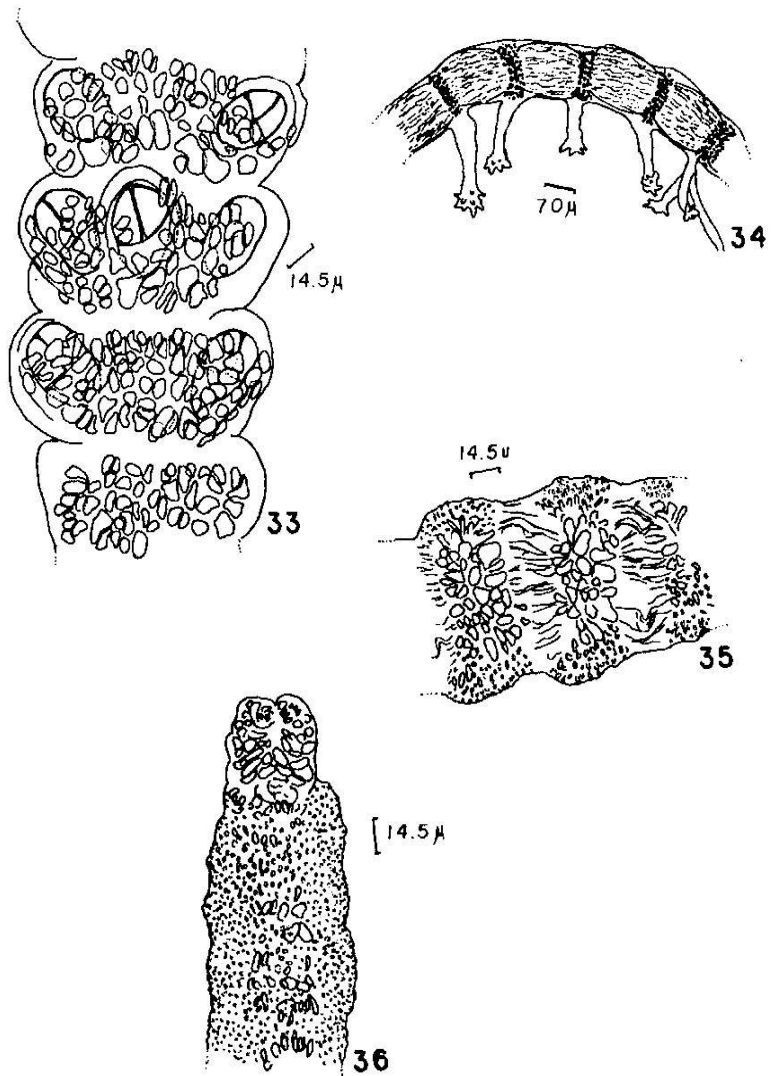


LÁMINA IX. FIG. 33. *Ceramium flaccidum*. Aspecto del tetrasporofito. **FIG. 34.** *C. flaccidum*. Porción basal del talo. **FIG. 35 y 36.** *C. flaccidum*. Detalle del gametofito

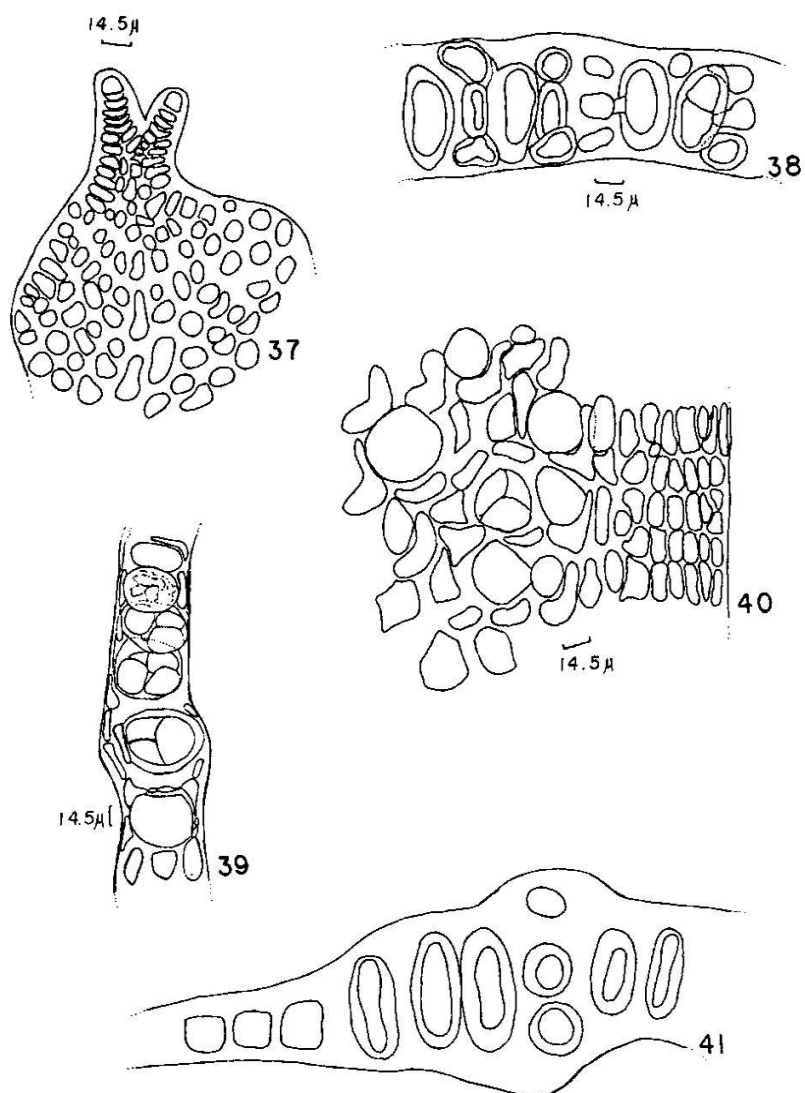


LÁMINA X. FIG. 37. *Caloglossa leprieurii*. Detalle de la porción apical del talo. **FIG. 38 y 41.** *C. leprieurii*. Corte transversal del talo. **FIG. 39 y 40.** *C. leprieurii*. Detalle de los tetrasporangios en corte transversal y en vista superficial, respectivamente.

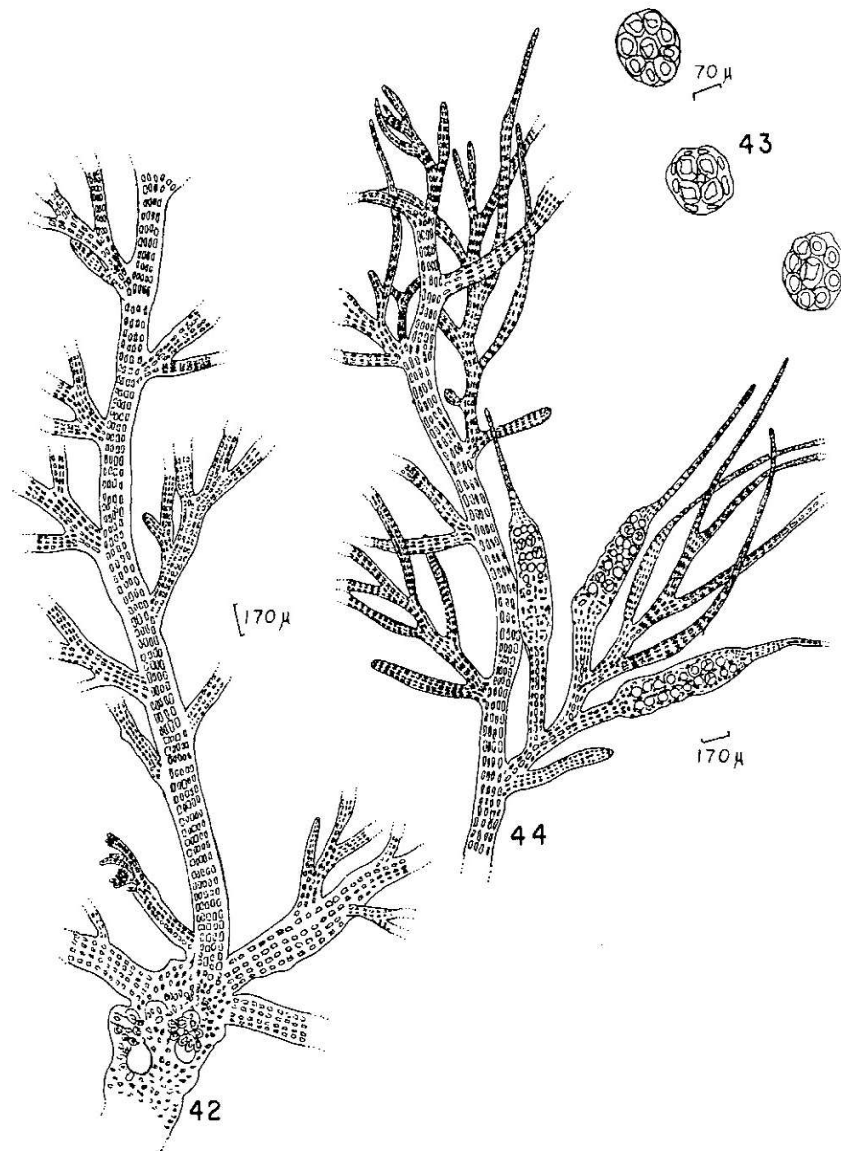


LÁMINA XI. FIG. 42. *Bostrychia moritziana*. Porción basal del talo. FIG. 43. *B. moritziana*. Corte transversal del talo. FIG. 44. *B. moritziana*. Aspecto general del talo con estiquidios tetraesporangiales.

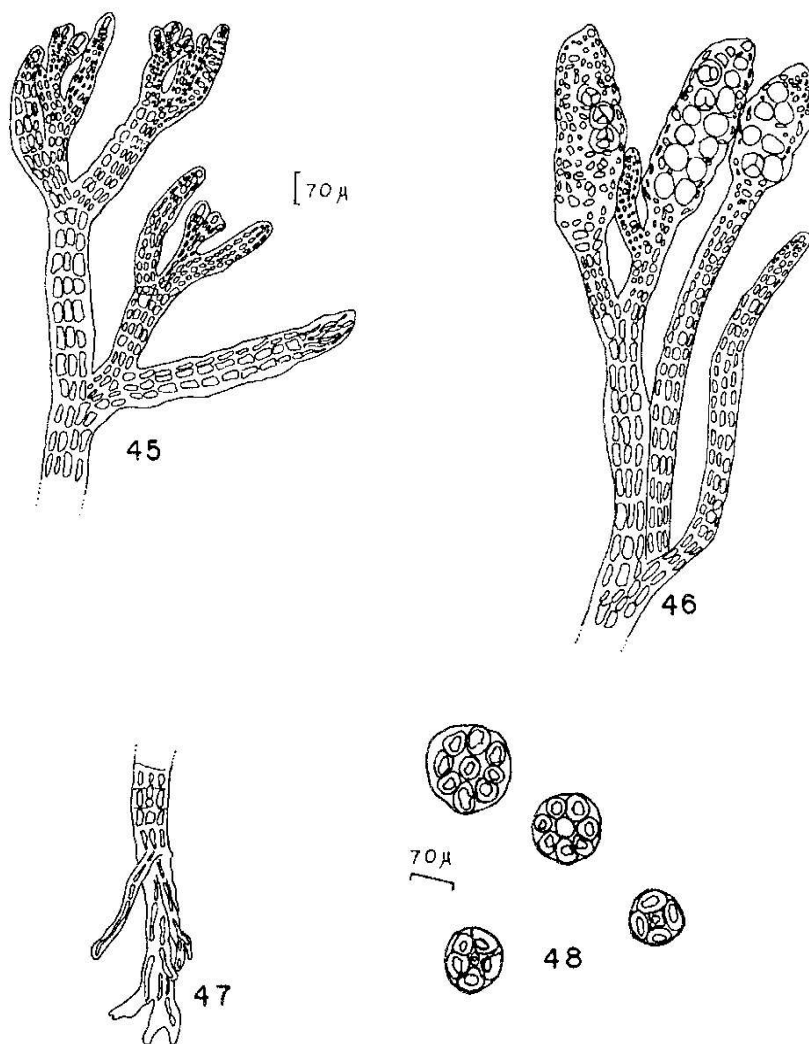


LÁMINA XII. FIG. 45. *Bostrychia radicans*. Porción apical del talo. FIG. 46. *B. radicans*. Detalle del talo con estiquidios tetrasporangiales. FIG. 47. *B. radicans*. Porción basal del talo. FIG. 48. *B. radicans*. Corte transversal del talo en diferentes niveles de la porción basal a la apical.

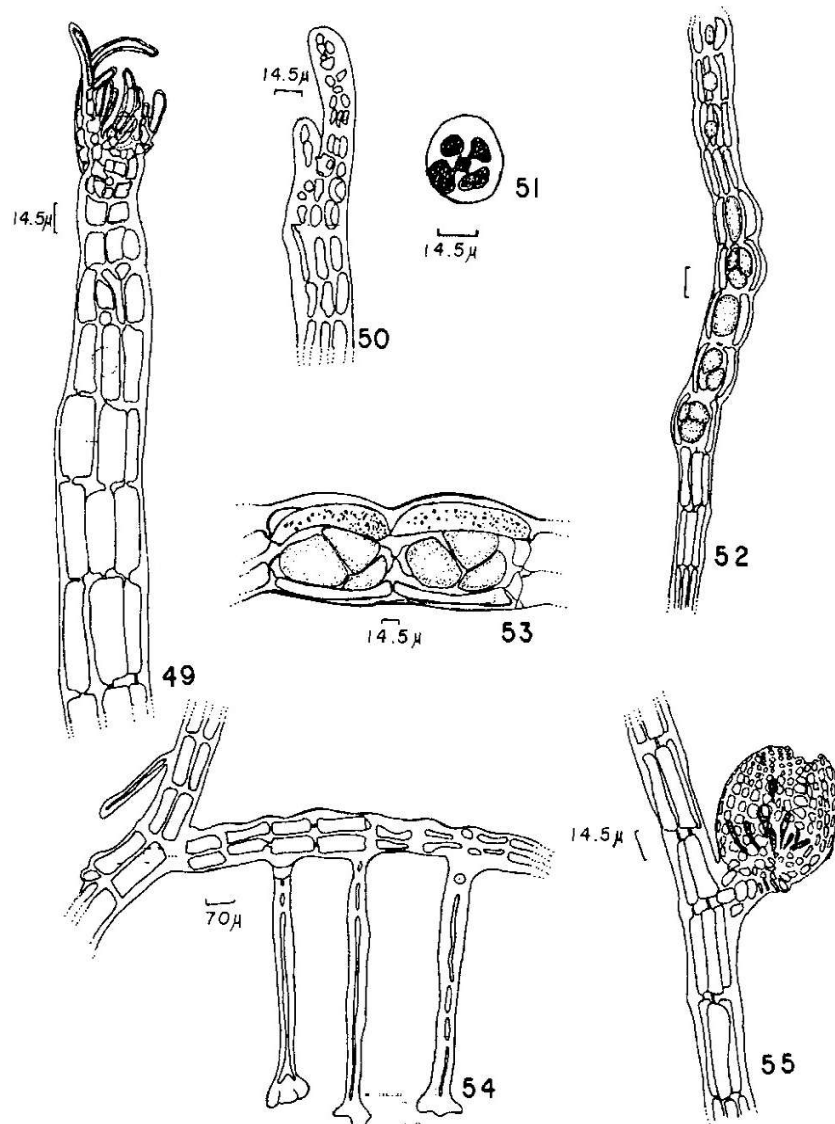


LÁMINA XIII. FIG. 49 y 50. *Polysiphonia flaccidissima*. Porciones apicales del talo con tricoblastos. **FIG 51.** *P. flaccidissima*. Corte transversal del talo. **FIG. 52 y 53.** *P. flaccidissima*. Detalle de los tetrasporangios. **FIG. 54.** *P. flaccidissima*. Aspecto de la porción basal del talo. **FIG. 55.** *P. flaccidissima*. Gametofito femenino con cistocarpo.

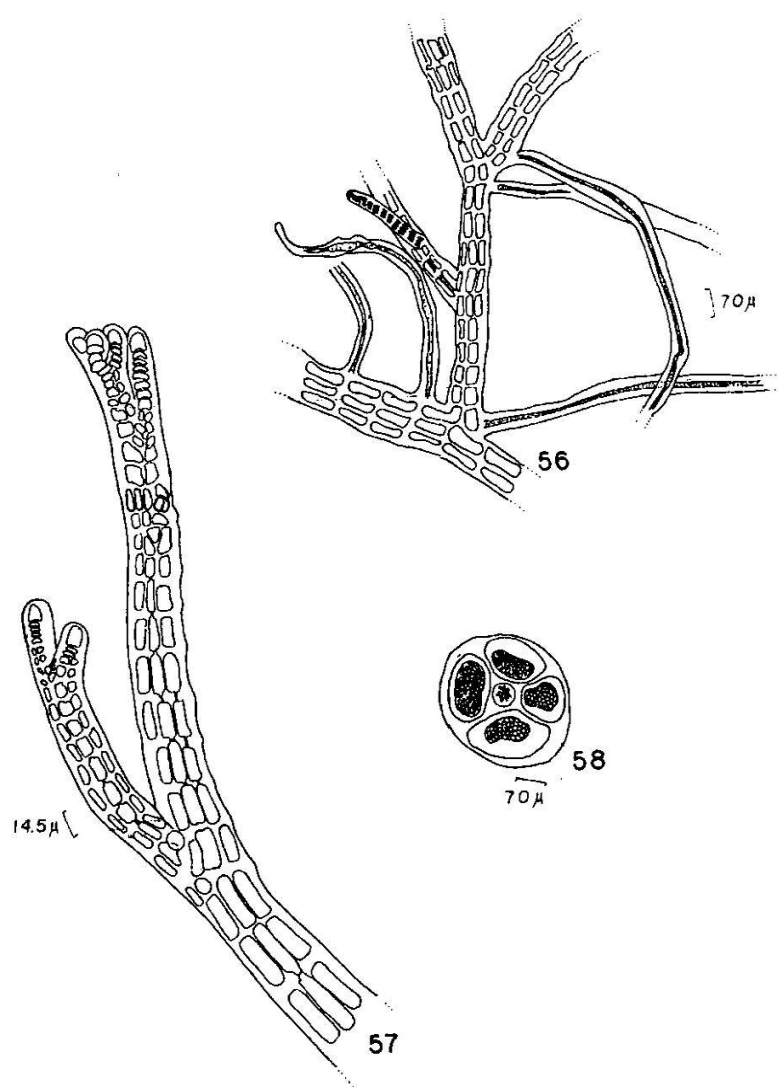


LÁMINA XIV. FIG. 56. *Polysiphonia pacifica* var. *delicatula*. Porción basal del talo. FIG. 57. *P. pacifica* var. *delicatula*. Porción apical del talo FIG. 58. *P. pacifica* var. *delicatula*. Corte transversal del talo.

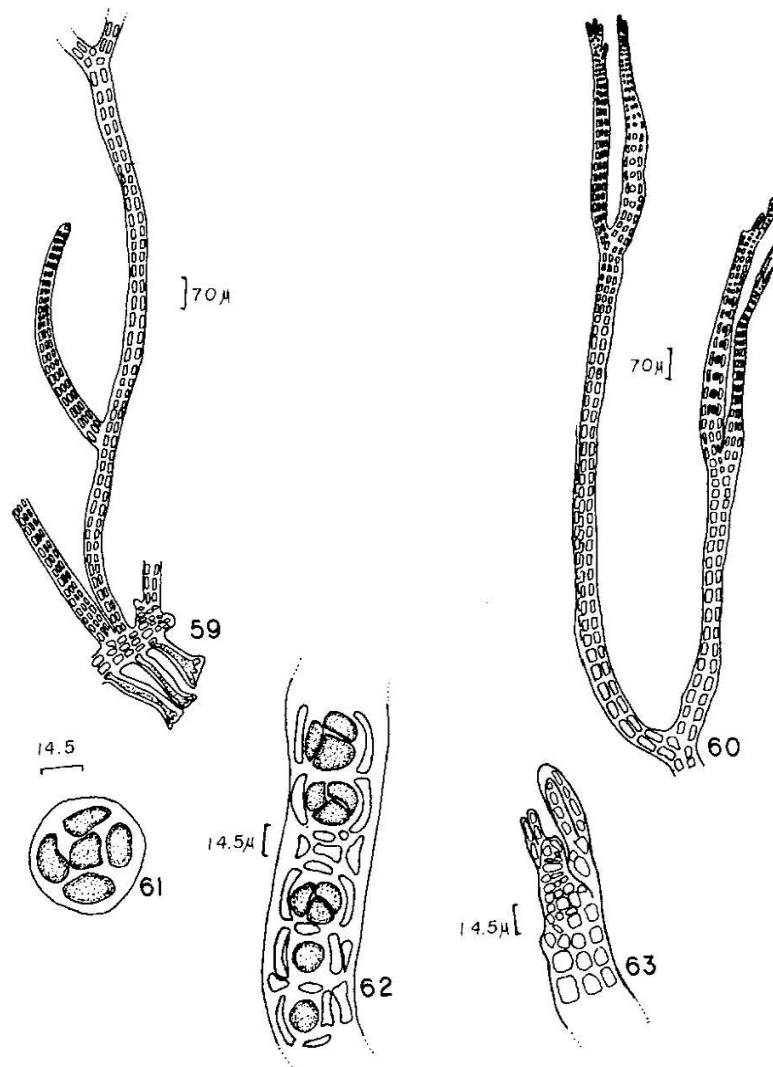


LÁMINA XV. FIG. 59. *Polysiphonia scopulorum* var. *villum*. Aspecto de la porción basal del talo. FIG. 60. *P. scopulorum* var. *villum*. Porciones apicales del talo con tetrasporangios en formación. FIG. 61. *P. scopulorum* var. *villum*. Corte transversal del talo. FIG. 62. *P. scopulorum* var. *villum*. Detalle de los tetrasporangios. FIG. 63. *P. scopulorum* var. *villum*. Detalle de una rama apical con tricoblastos en formación.

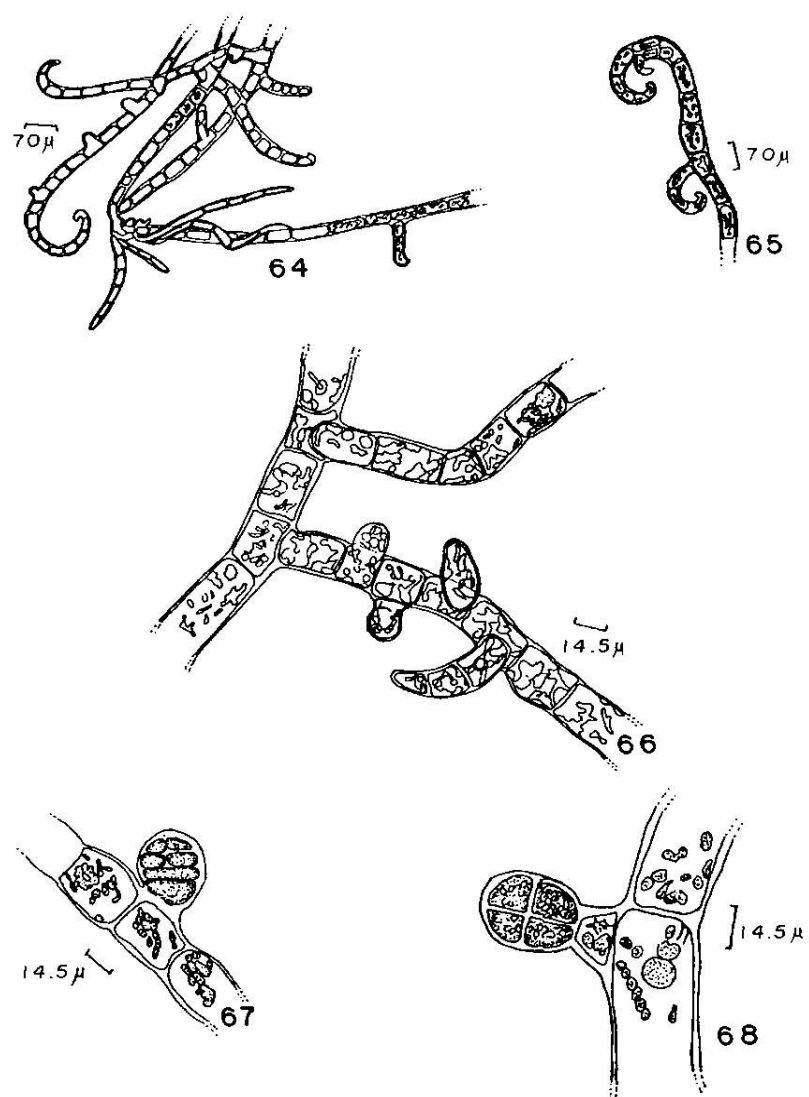


LÁMINA XVI FIG. 64 y 65. *Hincksia breviarticulata*. Aspecto general del talo. **FIG. 66.** *H. breviarticulata*. Detalle de los plastos. **FIG. 67 y 68.** *H. breviarticulata*. Aspecto de las plurangias en diferentes estadios de desarrollo.